

позволяет определить допустимые значения  $e'_s$

$$e'_{1,2} = \frac{(N-K-1)b^2 + Ka^2 \pm \sqrt{[(N-K-1)b^2 + Ka^2]^2 + 4a^2b^2N}}{2}. \quad (14)$$

и соответственно два вектора  $\mathbf{c}_s$  ( $s=1, 2$ ). Вектор  $\mathbf{S}(0) = (0, 0, \dots, 0, a_{K+1}, \dots, a_N)$ , за- дающий в рассматриваемом случае граничные условия, можно представить в виде суммы векторов  $\mathbf{c}_1$  и  $\mathbf{c}_2$ , поэтому в голограмме при реконструкции возбуждаются только моды  $M_1$  и  $M_2$ . Коэффициенты  $d_m$ , фигурирующие в (9), определяются формулами

$$d_{1,2} = \pm [(\beta/\alpha)_1 - (\beta/\alpha)_2]^{-1}. \quad (15)$$

Фазовые скорости мод  $M_1$  и  $M_2$  в голограмме различны, и на глубине  $z'_n = 2\pi n/k_0 \sqrt{\epsilon_0} (e_1 - e_2)$  ( $n=1, 2, \dots$ ) амплитуды их плоских компонент, соответствующих объективному пучку, сложатся в фазе

$$\mathbf{S}(z') = \frac{1}{(\beta/\alpha)_1 - (\beta/\alpha)_2} (2a_0, 2a_1, \dots, 2a_K, [(\beta/\alpha)_1 + (\beta/\alpha)_2] a_{K+1}, \dots, [(\beta/\alpha)_1 + (\beta/\alpha)_2] a_N).$$

Плоскостям  $z=z'_n$  соответствует наибольшая дифракционная эффективность голограммы  $\eta(z'_n) = \eta_{\max}$ . Для оценки  $\eta_{\max}$  найдем отношение суммарной интенсивности компонент восстановленного пучка при  $z=z'_n$  к суммарной интенсивности реконструирующего пучка при  $z=0$

$$\eta_{\max}(K, N, a, b) = 4a^2(K+1)/\{(N-K)b^2[(\beta/\alpha)_1 - (\beta/\alpha)_2]^2\}. \quad (16)$$

Подставив  $(\beta/\alpha)_{1,2}$  в (16), получим

$$\eta_{\max}(K, N, a, b) = \frac{4(K+1)(N-K)a^2b^2}{(N-K-1)^2b^4 + 2(N-K-1)Ka^2b^2 + K^2a^4 + 4a^2b^2N}. \quad (17)$$

Дифракционная эффективность при произвольном  $z$  определяется в соответствии с (9) и (17) формулой

$$\eta(z, K, N, a, b) = \eta_{\max}(K, N, a, b) \sin^2(\pi z/2z'_1). \quad (18)$$

Исследование (17) показывает, что при  $1 \ll K \ll N$  для получения голограммы с высокой дифракционной эффективностью необходимо во время записи обеспечить равенство суммарных интенсивностей плоских компонент объективного и референтного пучков. Если же объективный или референтный пучок состоит из одной плоской волны (т. е.  $K=0$  или  $K=N-1$ ) и  $N \gg 1$ , то дифракционная эффективность голограммы будет тем большей, чем больше интенсивность этой единственной плоской волны по сравнению с общей интенсивностью компонент пучка, образованного множеством плоских волн.

### Литература

- [1] Ю. Н. Денисюк. ДАН СССР, 144, 1275, 1962.
- [2] Н. Когелник. Bell Syst. Techn. J., 48, 2909, 1969.
- [3] Е. Џ. Сассисю. J. Appl. Phys., 38, 3995, 1967.
- [4] В. В. Аристов, В. Ш. Шехтман. Усп. физ. наук, 104, 51, 1971.
- [5] М. С. Сокчин. Матер. IV Всесоюзн. школы по голограммии, 231. Л., 1972.
- [6] П. П. Эвальд. Усп. физ. наук, 89, 287, 1966.
- [7] Р. Ф. Евальд. Ann. Phys., 54, 519, 1917.
- [8] В. Г. Сидорович, Д. И. Стаселько. ЖТФ, 44, 2572, 1974; Письма ЖТФ, 1, 424, 1975; ЖТФ, 45, 2597, 1975.

Поступило в Редакцию 6 октября 1975 г.

УДК 535.13.01

## О ФОРМУЛЕ ЛОРЕНЦ—ЛОРЕНЦА

B. Л. Кузьмин

Известная формула Лоренц—Лорентца

$$1 = \frac{4\pi\alpha\rho}{3} \frac{n^2 + 2}{n^2 - 1}, \quad (1)$$

разложенная в ряд по  $\alpha\rho$ , имеет вид

$$n - 1 = 2\pi\alpha\rho + \frac{2}{3}(\pi\alpha\rho)^2 + \frac{10}{9}(\pi\alpha\rho)^3 + \dots \quad (2)$$

Такая запись формулы (1) является оправданной, так как попытки [1-5, 7] найти строго (с учетом межмолекулярных корреляций) связь между показателем преломления  $n$  и  $\alpha \rho$  основаны на исследовании рядов по  $\alpha \rho$ . Так, было показано, что (1) не учитывает зависимости  $n$  от волнового вектора  $k$  [1-7]. Покажем, что и в длинноволновом пределе ( $k=0$ ) формула (2) не может в общем случае быть верной, начиная с члена  $\sim (\alpha \rho)^3$ .

В работе [7] исследовался ряд

$$\begin{aligned} \mathbf{D}(\mathbf{r}_0) = & \mathbf{E}_0(\mathbf{r}_0) + \alpha \rho \int A_{01}^0 d\mathbf{r}_1 \left[ \mathbf{D}(\mathbf{r}_1) + \alpha \rho^{-1} \int d\mathbf{r}_2 A_{12} G(1, 2) \mathbf{D}(\mathbf{r}_2) + \right. \\ & \left. + \alpha^2 \rho^{-1} \int d\mathbf{r}_2 d\mathbf{r}_3 G(1, 2, 3) A_{12} A_{23} \mathbf{D}(\mathbf{r}_3) + \dots \right]. \end{aligned} \quad (3)$$

(мы используем обозначения работы [7] с заменой  $\mathbf{E}$  на  $\mathbf{D}$ , поскольку  $\mathbf{D}$ , с точки зрения макроскопической электродинамики, — вектор электрической индукции). Учет первых двух членов в квадратных скобках дает формулу

$$1 = 4\pi n^2 \alpha \rho (n^2 - 1)^{-1} [1 - 8\pi \alpha \rho Y/3 + \dots], \quad Y = n^2. \quad (4)$$

Для определения коэффициента при  $(\alpha \rho)^3$  рассмотрим вклад третьего члена. Функция  $G(1, 2, 3)$  является связной частью функции  $N(1, 2, 3)$  [7]

$$\begin{aligned} N(1, 2, 3) = & \sum_{i=1}^N \delta(\mathbf{r}_1 - \mathbf{x}_i) \sum_{j \neq i}^N \delta(\mathbf{r}_2 - \mathbf{x}_j) \sum_{k \neq j}^N \delta(\mathbf{r}_3 - \mathbf{x}_k) = \\ = & \left( \sum_{i \neq j \neq k \neq i} + \sum_{k=i} \right) \delta(\mathbf{r}_1 - \mathbf{x}_i) \delta(\mathbf{r}_2 - \mathbf{x}_j) \delta(\mathbf{r}_3 - \mathbf{x}_k) = \rho(1, 2, 3) + \\ & + \rho(1, 2) \delta(\mathbf{r}_1 - \mathbf{r}_3), \end{aligned} \quad (5)$$

так что  $G(1, 2, 3) = g(1, 2, 3) + \rho(1, 2) \delta(\mathbf{r}_1 - \mathbf{r}_3)$ , где  $g(1, 2, 3)$  — трехчастичная функция Урселла [8]. Известно [8], что

$$g(1, 2, 3) = 2\rho^3 \text{ при } r_{12} = r_{23} = 0, \quad \rho(1, 2) = 0 \text{ при } r_{12} = 0. \quad (6)$$

В длинноволновом пределе, когда  $A_{ij} = \nabla \times \nabla \times r_{ij}^{-1}$  (полагаем  $Y \approx 1$  в члене  $\sim (\alpha \rho)^3$ ),

$$\begin{aligned} & \alpha^2 \rho^{-1} \int d\mathbf{r}_2 d\mathbf{r}_3 g(1, 2, 3) [(\Delta \delta_{\alpha\beta} - \nabla_\alpha \nabla_\beta) r_{12}^{-1}] [(\Delta \delta_{\beta\gamma} - \nabla_\beta \nabla_\gamma) r_{23}^{-1}] D_\gamma(\mathbf{r}_3) = \\ = & \alpha^2 \rho^{-1} \int d\mathbf{r}_2 d\mathbf{r}_3 g(1, 2, 3) \left[ \delta_{\alpha\beta} \delta_{\beta\gamma} \frac{1}{3} \left( \Delta \frac{1}{r_{12}} \right) \left( \Delta \frac{1}{r_{23}} \right) + \left( \nabla_\alpha \nabla_\beta \frac{1}{r_{12}} \right) \left( \nabla_\beta \nabla_\gamma \frac{1}{r_{23}} \right) \right] D_\gamma(\mathbf{r}_3) = \\ = & [128(\pi \alpha \rho)^2/9] D_\alpha(\mathbf{r}_1) \end{aligned} \quad (7)$$

( $\alpha, \beta, \gamma$  — декартовы составляющие). Здесь использовалось (6) и тождество  $\Delta r_{ij}^{-1} = -4\pi \delta(\mathbf{r}_{ij})$ ,  $\nabla_\alpha \nabla_\beta r_{ij}^{-1} = -\delta_{\alpha\beta}(4\pi/3) \delta(\mathbf{r}_{ij})$ ; последнее справедливо только при изотропности подынтегрального выражения по направлению  $\mathbf{r}_{ij}$ : это может быть и не так в члене с  $\nabla_\alpha \nabla_\beta r_{12}^{-1} \nabla_\beta \nabla_\gamma r_{23}^{-1}$ . Однако поскольку основной вклад в интеграл дает область малых  $\mathbf{r}_{ij}$ , то вообще можно положить под интегралом  $g(1, 2, 3) \approx g(1, 1, 1)$ . Далее

$$\begin{aligned} & \alpha^2 \rho^{-1} \int d\mathbf{r}_2 \rho(1, 2) A_{12}^0 A_{21} D(\mathbf{r}_1) \approx \alpha^2 \rho^{-1} \int d\mathbf{r}_2 \rho(1, 2) r_{12}^{-6} [\mathbf{D}(\mathbf{r}_1) + 3r_{12}^{-2} \mathbf{r}_{12}(\mathbf{r}_{12} \mathbf{D}(\mathbf{r}_1))] = \\ = & 2\alpha^2 \rho^{-1} \int d\mathbf{r}_2 \rho(1, 2) r_{12}^{-6} \mathbf{D}(\mathbf{r}_1) \equiv a(\pi \alpha \rho)^2 \mathbf{D}(\mathbf{r}_1), \end{aligned} \quad (8)$$

где  $a$  — некоторая положительная ( $\rho(1, 2) > 0$  всегда) величина. При выводе (8) использовали тождество  $\rho(1, 2) \delta(1, 2) = 0$ . Таким образом, из (7) и (8) следует, что член с  $G(1, 2, 3)$  дает вклад  $(128/9 + a)(\pi \alpha \rho)^2$  в квадратную скобку формулы (4). Разложив последнюю в ряд по  $\alpha \rho$ , получим

$$n - 1 = 2\pi \alpha \rho + (2/3)(\pi \alpha \rho)^2 + (a - 22/9)(\pi \alpha \rho)^3 + \dots \quad (9)$$

Из (8) видно, что  $a$  сильно зависит от  $\rho(1, 2)$ , так что для различных веществ и термодинамических состояний не может выполняться условие  $a = 22/9 = 10/9$ , приводящее к совпадению (9) и (2). Так, в газовом пределе  $\rho(1, 2) \approx \rho^2 \exp[-(kT)^{-1} \Phi(r_{12})]$ , где  $\Phi(r_{12})$  — парный межмолекулярный потенциал, и  $a$  сильно зависит от температуры  $T$  и вида  $\Phi(r_{12})$ . Любопытно отметить, что (9) совпадает с (2) (вплоть до  $(\alpha \rho)^3$ ), если предположить  $\rho(1, 2) = \rho^2 \Theta(r_{12} - b)$  (т. е. промоделировать лоренцову полость) при  $\rho^{-1} = 4\pi b^3/3$ , чего быть не может, так как при любой упаковке объем  $\rho^{-1}$ , приходящийся в системе на твердый шарик радиуса  $b$ , больше объема  $4\pi b^3/3$  твердого шарика.

## Литература

- [1] J. G. Kirkwood. J. Chem. Phys., 4, 592, 1936.
- [2] P. Mazur, M. Mandel. Physica, 22, 299, 1956.
- [3] S. Larsen, R. Mountain, R. Zwanzig. J. Chem. Phys., 42, 2187, 1965.
- [4] D. Bedeaux, P. Mazur. Physica, 67, 23, 1973.
- [5] B. L. Кузьмин. Опт. спектр., 38, 745, 1975.
- [6] B. I. Татарский. ЖЭТФ, 46, 1399, 1964.
- [7] B. L. Кузьмин. Опт. и спектр., 40, 552, 1976.
- [8] J. L. Lebowitz, J. K. Percus. J. Math. Phys., 4, 116, 1969.

Поступило в Редакцию 13 октября 1975 г.

УДК 535.32.096 : 547.532

## ХАРАКТЕР ТЕМПЕРАТУРНЫХ ИЗМЕНЕНИЙ ПОКАЗАТЕЛЯ ПРЕЛОМЛЕНИЯ БЕНЗОЛА И СЕГНЕТОВОЙ СОЛИ

В. П. Семенова

Исследование зависимости показателя преломления от температуры является одной из важных сторон изучения проблемы структурных изменений жидкостей и твердых тел.

Дифференциальный фотоэлектрооптический рефрактометр ФЭОР, описанный в [1, 2], дает возможность непрерывного наблюдения за ходом температурной зависимости относительного изменения показателя преломления. Были исследованы зависимости  $\Delta n(T)$  для жидкого бензола и кристалла сегнетовой соли. Исследуемая жидкость заливалась в кювету, в которую погружалась призма рефрактометра. Кювета в свою очередь помещалась в сосуд с водой. Температура в сосуде была на несколько градусов выше или ниже температуры исследуемой жидкости. Зависимость  $\Delta n(T)$  снималась как при повышении температуры жидкости, так и при ее понижении. Жидкости в кювете и в сосуде перемешивались мешалками. Непрерывные изменения температуры фиксировались с помощью термометра с точностью  $\pm 0.1$  К. Точность фиксации абсолютного значения температуры составляла  $\pm 0.2$  К, что связано с инерционностью термометра. Вычисления и измерения инерционности термометра проводились по методике, описанной в [3]. На рис. 1 представлена зависимость  $\Delta n(T)$  бензола. Из рис. 1 следует, что в точках 3.2 и 5.5°С результаты совпадают с данными, представленными в [4]. Также имеется дополнительная точка перегиба в окрестности 9°С, не обнаруженная в работе [4].

Сегнетова соль, имеющая химическую формулу  $NaKC_4H_4O_6 \cdot 4H_2O$ , — первый кристалл, у которого были обнаружены сегнетоэлектрические свойства, наблюдающиеся в интервале температур от  $-18$  до  $+24$ °С. Представляя интерес и в теоретическом, и в прикладном плане, этот

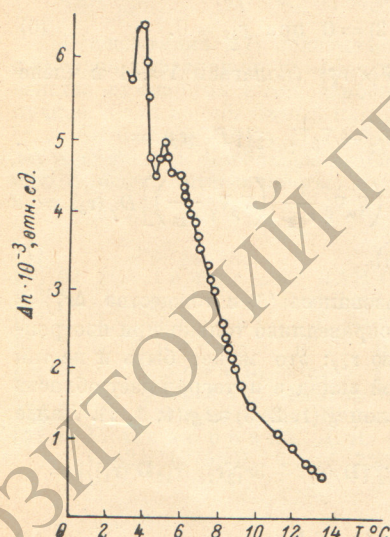


Рис. 1. Характер температурных изменений показателя преломления бензола.

кришталл, однако, из-за сложности строения изучен недостаточно. Литература, посвященная сегнетовой соли, как указывают Иона и Ширане [5], часто содержит противоречивые данные.

Исследование температурной зависимости показателя преломления  $n(T)$  является одной из важных сторон изучения проблемы фазовых переходов II рода. В сегнетовой соли в точках Кюри наблюдается перестройка структуры из ромбической фазы в моноклинную. Однако в работах Валашека [6] и Баранского [7] приводятся линейные зависимости  $n(T)$ . По-видимому, влияние фазового перехода не было замечено из-за недостаточной чувствительности измерений, как отмечается у Иоффе [8]. Мюллером [9] были обнаружены небольшие отклонения от линейности двулучепреломления в точках фазовых превращений II рода. В свете вышесказанного пред-